

## Étalement de gouttes sur une surface bigarrée

Elie RAPHAËL

**Résumé** — Nous analysons le comportement d'un ruban liquide déposé sur la frontière entre deux supports solides différents. Sous l'action de forces d'Young non compensées, le liquide est mis en mouvement. Suivant la valeur  $\theta_0$  de l'angle de contact initial, différents comportements sont attendus.

## Spreading of droplets on a patchy surface

**Abstract** — We discuss the behavior of a liquid strip, straddling between two different solids. Due to uncompensated Young forces, the liquid is put in motion. According to the value  $\theta_0$  of the initial contact angle, various types of behaviours are expected.

I. INTRODUCTION. — L'hystérésis de l'angle de contact, en régime de mouillage partiel, est souvent attribuée à l'hétérogénéité chimique de la surface solide [1]. Nous nous intéressons ici à un problème un peu analogue : une goutte est déposée sur la frontière (rectiligne) entre deux supports solides différents. La situation que l'on observe expérimentalement [2] est illustrée sur la figure 1. Dans ce qui suit, nous allons considérer une géométrie plus simple : un ruban de liquide est déposé sur la frontière entre les deux supports et s'étale sous l'action de forces de Young non compensées (sec. II). L'instabilité éventuelle due à des déformations péristaltiques du ruban [3] (et analogue à l'instabilité de Rayleigh des cylindres fluides) sera discutée dans la section III.

II. DYNAMIQUE DE L'ÉTALEMENT. — Soient  $\theta_{1e}$  et  $\theta_{2e}$  les angles de contact thermodynamiques correspondant aux solides (1) et (2) respectivement. Nous supposons ces angles non nuls et par convention nous prendrons  $\theta_{1e}$  inférieur à  $\theta_{2e}$ . Les objets auxquels nous nous intéressons sont suffisamment petits pour que la gravité puisse être négligée. La région centrale de la goutte étant épaisse, la pression s'y égalise vite [4] : la courbure est donc constante et la goutte admet pour section un arc de cercle qui fait, à l'instant  $t$ , un angle  $\theta$  avec le plan solide (fig. 2). Soit  $L_1$  (resp.  $L_2$ ) la ligne triple air/liquide/solide (1) [resp. solide (2)] et  $x_1$  (resp.  $x_2$ ) son abscisse. Lorsque tous les angles sont petits, la vitesse  $V_1 = dx_1/dt$  de  $L_1$  est de la forme :

$$(1a) \quad V_1 = V^* \theta (\theta^2 - \theta_{1e}^2)$$

où  $V^* = k(\gamma/\eta)$ ,  $\eta$  étant la viscosité du liquide et  $k$  une constante numérique. L'équation (1a) est obtenue en égalant deux formes de la source d'entropie (par unité de longueur)  $T\dot{S} = \gamma(\cos \theta_{1e} - \cos \theta) V_1 = k^{-1} \eta (V_1^2/\theta)$ . La première forme est le travail de la force d'Young non compensée [5] et la deuxième décrit la dissipation due à la viscosité dans un coin macroscopique d'angle  $\theta$  ( $\theta < 1$ ).

De même la vitesse  $V_2$  de la ligne  $L_2$  est de la forme

$$(1b) \quad V_2 = V^* \theta (\theta_{2e}^2 - \theta^2)$$

Par convention, on dira que la ligne  $L_i$  ( $i=1, 2$ ) avance si sa vitesse  $V_i$  est positive et qu'elle recule si sa vitesse est négative. Soient  $\theta_0$ ,  $x_1^0$  et  $x_2^0$  les valeurs initiales ( $x_2^0 < 0 < x_1^0$ ).

La conservation du volume liquide impose

$$(1c) \quad (x_1 - x_2)^2 \theta = 4 l_0^2 \theta_0$$

Note présentée par Pierre-Gilles de GENNES.

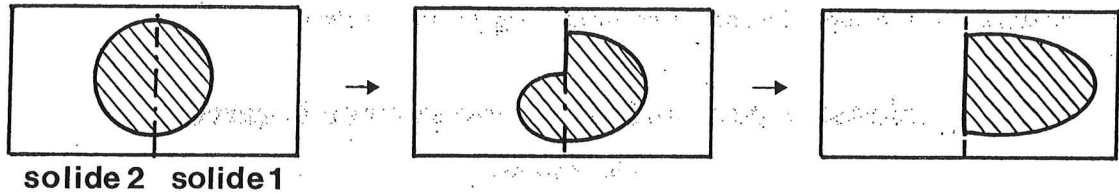


Fig. 1. — Évolution d'une goutte déposée sur la frontière entre deux solides différents. Le liquide se déplace vers le côté pour lequel il a le plus d'affinité (observations C. Casagrande).

Fig. 1. — Evolution of a droplet laying on the boundary between to different solids. The liquid moves toward the side for which it has more affinity (observations C. Casagrande).

où  $l_0 = (x_1^0 - x_2^0)/2$ . On trouve alors, à partir de (1 a), (1 b) et (1 c)

$$(2) \quad \frac{d\theta}{dt} = -\frac{2V^*}{l_0 \theta_0^{1/2}} \theta^{5/2} (\theta^2 - \tilde{\theta}^2)$$

où l'angle  $\tilde{\theta}$  est défini par  $\tilde{\theta} = \sqrt{(\theta_{1e}^2 + \theta_{2e}^2)/2}$ .

Nous allons commencer par décrire le comportement du ruban avant que la ligne de contact  $L_2$  ne rencontre la frontière entre les deux supports solides. Cette première étape correspond à  $t < T$  où le temps  $T$  est défini par

$$(3) \quad \int_0^T dt \theta(t) [\theta_{2e}^2 - \theta^2(t)] = \frac{|x_2^0|}{V^*}$$

Soit  $\theta_T$  l'angle de contact à l'instant  $t = T$ :

$$\int_{\theta_0}^{\theta_T} d\theta \frac{(\theta_{2e}^2 - \theta^2)}{\theta^{3/2} (\tilde{\theta}^2 - \theta^2)} = \frac{2|x_2^0|}{l_0 \theta_0^{1/2}}$$

Le mouvement du ruban va dépendre de la valeur de l'angle de contact initial  $\theta_0$ .

1.  $\theta_{1e} < \theta_0 < \theta_{2e}$ . — (a) Dans le cas particulier où  $\theta_0$  est égal à  $\tilde{\theta}$ , l'angle de contact reste constant au cours du temps, le ruban se propageant sans se déformer à la vitesse

$$(4) \quad \tilde{V} = V^* \left( \frac{\theta_{2e}^2 + \theta_{1e}^2}{2} \right)^{1/2} \left( \frac{\theta_{2e}^2 - \theta_{1e}^2}{2} \right)$$

Le temps  $T$  vaut alors  $|x_2^0|/\tilde{V}$ .

(b) Supposons  $\theta_0 > \tilde{\theta}$ . La ligne de contact  $L_1$  avance alors plus vite que la ligne de contact  $L_2$  et l'angle  $\theta$  décroît continuellement de la valeur  $\theta_0$  à la valeur  $\theta_T$ , en prenant des valeurs strictement supérieures à  $\tilde{\theta}$ .

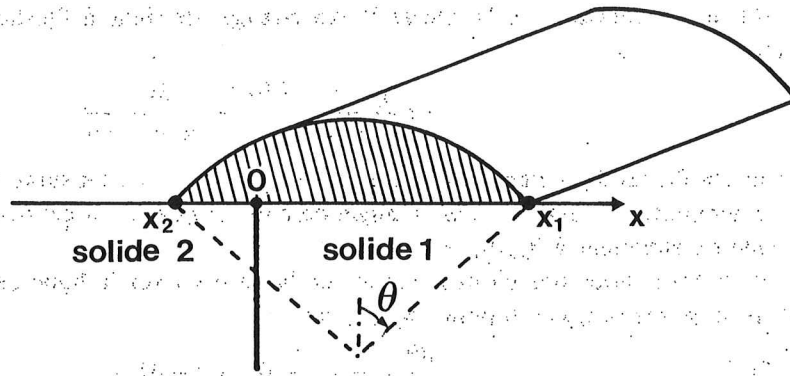
(c) Par contre, dans le cas où  $\theta_0 < \tilde{\theta}$ , la ligne de contact  $L_1$  avance moins vite que la ligne de contact  $L_2$  et l'angle  $\theta$  croît continuellement de la valeur  $\theta_0$  à la valeur  $\theta_T$  en prenant des valeurs strictement inférieures à  $\tilde{\theta}$ .

La fonction  $t = t(\theta)$  peut être calculée explicitement en intégrant l'équation différentielle (2). Cependant, la forme obtenue se prête mal à l'inversion. Afin de simplifier, nous allons nous placer dans le cas

$$(5) \quad \theta_0 = \tilde{\theta}(1 + \alpha), \quad |\alpha| \ll 1$$

Fig. 2. — Ruban de liquide à cheval entre deux solides différents.

Fig. 2. — Liquid strip straddling between two different solids.



On trouve alors à partir de (1 c), (2) et (3) :

$$(6) \quad \frac{\theta(t) - \tilde{\theta}}{\tilde{\theta}} = \alpha e^{-4(V^*/l_0)\tilde{\theta}^3 t}$$

$$(7) \quad \frac{l(t) - l_0}{l_0} = \frac{\alpha}{2} \{ 1 - e^{-4(V^*/l_0)\tilde{\theta}^3 t} \}$$

$$(8) \quad T = \frac{l_0}{\tilde{V}} \left\{ 1 - \frac{\alpha}{4} \frac{\theta_{2e}^2 - 3\tilde{\theta}^2}{\tilde{\theta}^2} (1 - e^{-4(V^*/\tilde{V})\tilde{\theta}^3 T}) \right\}$$

où  $\tilde{V}$  est définie par (4). On en déduit :

$$(9) \quad \frac{\theta_T - \tilde{\theta}}{\tilde{\theta}} = \alpha e^{4[1 - (\theta_{2e}/\tilde{\theta})^2]^{-1}}$$

$$(10) \quad \frac{l(T) - l_0}{l_0} = \frac{\alpha}{2} \{ 1 - e^{4[1 - (\theta_{2e}/\tilde{\theta})^2]^{-1}} \}$$

Remarquons que, d'après (8), l'expression  $T(\alpha) - T(\alpha=0)$  a même signe que  $\alpha$ .

2.  $\theta_{1e} < \theta_{2e} < \theta_0$ . — La ligne  $L_2$  commence alors par reculer tandis que  $L_1$  avance ( $V_1 > |V_2|$ ). Lorsque  $t$  atteint la valeur

$$(11) \quad T_2 = \left( \frac{l_0 \theta_0^{1/2}}{2V^*} \right) \int_{\theta_{2e}}^{\theta_0} \frac{d\alpha}{\alpha^{5/2} (\alpha^2 - \tilde{\theta}^2)}$$

l'angle de contact  $\theta$  prend la valeur  $\theta_{2e}$  et la vitesse  $V_2$  change de signe. Pour  $t > T_2$ , les deux lignes  $L_1$  et  $L_2$  avancent ( $V_1 > V_2 > 0$ ) et le mouvement se poursuit jusqu'au temps  $T$  où  $L_2$  rencontre la frontière entre les deux solides. L'angle de contact  $\theta_T$  que fait à cet instant le ruban avec le solide est compris entre  $\tilde{\theta}$  et  $\theta_{2e}$ .

3.  $\theta_0 < \theta_{1e} < \theta_{2e}$ . — La ligne  $L_1$  commence alors par reculer tandis que  $L_2$  avance ( $V_2 > |V_1|$ ). Soient I et J :

$$(12) \quad I \equiv 2|x_2^0| l_0^{-1} \theta_0^{-1/2}$$

$$(13) \quad J \equiv \int_{\theta_0}^{\theta_{1e}} d\beta \beta^{-3/2} \frac{(\theta_{2e}^2 - \beta^2)}{(\tilde{\theta}^2 - \beta^2)}$$

(a) Si  $I < J$ , le mouvement se poursuit ainsi jusqu'à l'instant  $T$  où la ligne  $L_2$  rencontre la frontière entre les deux solides. L'angle de contact que fait à cet instant le ruban avec le solide est inférieur à  $\theta_{1e}$ .

(b) Si par contre  $I > J$ , la vitesse  $V_1$  va changer de signe à l'instant  $T_1$  (inférieur à  $T$ ) défini par

$$(14) \quad T_1 = \left( \frac{l_0 \theta_0^{1/2}}{2 V^*} \right) \int_{\theta_0}^{\theta_{1e}} \frac{d\alpha}{\alpha^{5/2} (\theta^2 - \alpha^2)}$$

Pour  $t > T_1$ , les deux lignes avancent ( $V_2 > V_1 > 0$ ) jusqu'à l'instant  $T$  où  $L_2$  rencontre la frontière entre les deux solides. L'angle de contact que fait à cet instant le ruban avec le solide est supérieur à  $\theta_{1e}$  ( $\theta_{1e} < \theta_T < \theta$ ).

Pour  $t > T$ , nous postulons l'ancrage de la ligne  $L_2$  sur la ligne de séparation entre les deux supports (i. e.  $x_2 = 0$  pour  $t > T$ ). Alors :

$$(15) \quad \frac{d\theta}{dt} = - \frac{V^*}{\theta_0^{1/2} l_0} \theta^{5/2} (\theta^2 - \theta_{1e}^2)$$

$$(16) \quad \frac{dx_1}{dt} = V^* \theta_{1e}^3 \left( \frac{x_{1F}}{x_1} \right)^2 \left[ \left( \frac{x_{1F}}{x_1} \right)^4 - 1 \right]$$

où

$$(17) \quad x_{1F} \equiv 2 l_0 (\theta_0 / \theta_{1e})^{1/2}$$

L'angle de contact tend vers  $\theta_{1e}$  et la loi d'approche (aux temps élevés) vers cet angle est exponentielle, avec une constante de temps  $\tau = x_{1F} / 4 \theta_{1e}^2 V^*$ . La largeur  $x_1$  du ruban tend aussi exponentiellement vers la valeur  $x_{1F}$  avec la constante de temps  $\tau$ .

III. DISCUSSION. — 1. Il est possible d'étaler un ruban liquide sur la région frontière par plusieurs méthodes :

(a) avec un liquide assez visqueux, en tirant un long fil et en le déposant sur la surface (d'où un  $\theta_0$  assez grand).

(b) avec un liquide peu visqueux, en traçant un trait large avec une plume d'écolier (suffisamment douce pour ne pas endommager les surfaces).

2. Le problème de l'instabilité des rubans reste sérieux. Une évaluation du temps de montée des modes instables [6] conduit à une valeur qui est typiquement du même ordre que les temps mis en jeu dans la section II. Tout en se déplaçant le ruban va donc avoir tendance à se fragmenter en gouttelettes. La compétition entre ces deux phénomènes devrait pouvoir être mise en évidence expérimentalement. On peut cependant s'affranchir des instabilités en considérant une petite goutte étalée sur la jonction entre les deux parties d'une fibre bigarrée. En effet, si :  $\theta L \leq b \leq L$  ( $b$  étant le rayon de la fibre,  $L$  l'extension de la goutte et  $\theta$  l'angle de contact) l'analyse de la section II peut être appliquée sans modification et il n'y a pas d'instabilités.

3. L'hystérésis des angles de contact n'a pas été considérée ici. Sa prise en compte modifierait toute notre analyse.

Nous avons bénéficié de discussions très stimulantes sur ces questions avec P.-G. de Gennes et F. Brochard.

Note reçue le 29 janvier 1988, acceptée le 2 février 1988.

#### RÉFÉRENCES BIBLIOGRAPHIQUES

- [1] L. PENN et B. MILLER, *J. of colloid and Interface Science*, 78, 1980, p. 238-241.
- [2] C. CASAGRANDE, Communication privée.
- [3] K. SEKIMOTO, R. OGUMA et K. KAWASAKI, *Annals of Physics*, 176, 1987, p. 359-392.
- [4] P.-G. DE GENNES, *C.R. Acad. Sci. Paris*, 298, série II, 1984, p. 111-115.
- [5] P.-G. DE GENNES, *Rev. Mod. Phys.*, 57, 1985, p. 827-862.
- [6] P.-G. DE GENNES, Communication privée.

Laboratoire de la Matière condensée, U.A. n° 792, Collège de France, 75231 Paris Cedex 05.